

Metamateriály: spektrálně-teoretický přístup

Filip Hložek

Školitel: David Krejčířík



V obecném smyslu:

- Metamateriály jsou uměle vyrobené kompozitní materiály
- “meta” = pohled shora, na vyšší úrovni, vymanění se ze systému, přesahující
- Disponují neobvyklými fyzikálními vlastnostmi
- Široké možnosti využití

V obecném smyslu:

- Metamateriály jsou uměle vyrobené kompozitní materiály
- “meta” = pohled shora, na vyšší úrovni, vymanění se ze systému, přesahující
- Disponují neobvyklými fyzikálními vlastnostmi
- Široké možnosti využití

Nás zajímá:

- Záporný index lomu
- Využití:

NEVIDITELNOST

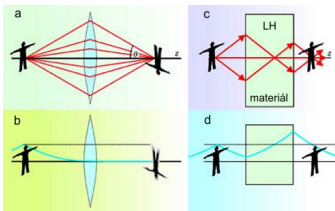
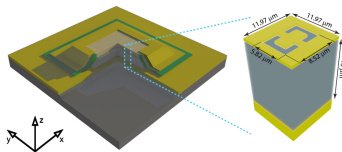
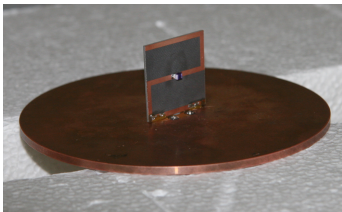
V obecném smyslu:

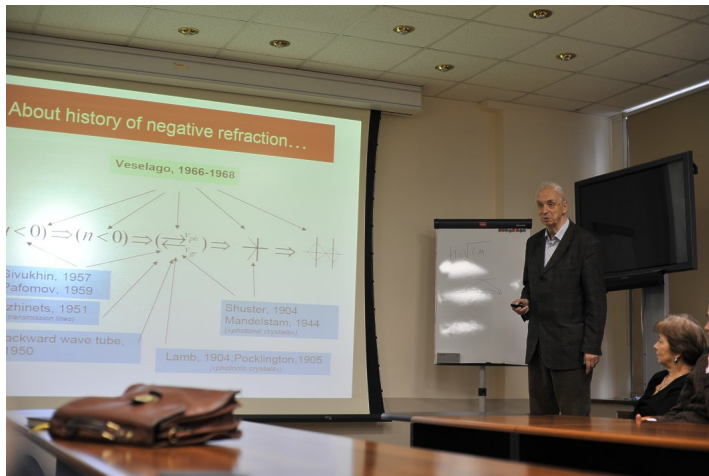
- Metamateriály jsou uměle vyrobené kompozitní materiály
- “meta” = pohled shora, na vyšší úrovni, vymanění se ze systému, přesahující
- Disponují neobvyklými fyzikálními vlastnostmi
- Široké možnosti využití

Nás zajímá:

- Záporný index lomu
- Využití:

Metamateriály - využití





- Viktor Veselago - teoreticky analyzoval vlastnosti materiálů se zápornými hodnotami ϵ , μ (1968)

Levotočivé materiály (left-handed materials)

- Z Maxwellových rovnic se dá zjistit, že vlnový vektor \vec{k} bude mít opačné znaménko než v obvyklých materiálech

$$\begin{aligned}\operatorname{rot} \vec{E} &= -\frac{1}{c} \frac{\partial \vec{B}}{\partial t} & \vec{B} &= \mu \vec{H} \\ \operatorname{rot} \vec{H} &= \frac{1}{c} \frac{\partial \vec{D}}{\partial t} & \vec{D} &= \epsilon \vec{E}\end{aligned}$$

Levotočivé materiály (left-handed materials)

- Z Maxwellových rovnic se dá zjistit, že vlnový vektor \vec{k} bude mít opačné znaménko než v obvyklých materiálech

$$\begin{aligned}\text{rot } \vec{E} &= -\frac{1}{c} \frac{\partial \vec{B}}{\partial t} & \vec{B} &= \mu \vec{H} \\ \text{rot } \vec{H} &= \frac{1}{c} \frac{\partial \vec{D}}{\partial t} & \vec{D} &= \epsilon \vec{E}\end{aligned}$$

- Pro rovinnou monochromatickou vlnu jsou všechny kvantify úměrné $e^{i(kz - \omega t)}$
 \Rightarrow

$$\begin{aligned}\vec{k} \times \vec{E} &= \frac{\omega}{c} \mu \vec{H} \\ \vec{k} \times \vec{H} &= -\frac{\omega}{c} \epsilon \vec{E}\end{aligned}$$

Levotočivé materiály (left-handed materials)

- Z Maxwellových rovnic se dá zjistit, že vlnový vektor \vec{k} bude mít opačné znaménko než v obvyklých materiálech

$$\begin{aligned}\text{rot } \vec{E} &= -\frac{1}{c} \frac{\partial \vec{B}}{\partial t} & \vec{B} &= \mu \vec{H} \\ \text{rot } \vec{H} &= \frac{1}{c} \frac{\partial \vec{D}}{\partial t} & \vec{D} &= \epsilon \vec{E}\end{aligned}$$

- Pro rovinnou monochromatickou vlnu jsou všechny kvantify úměrné $e^{i(kz-\omega t)}$
 \Rightarrow

$$\begin{aligned}\vec{k} \times \vec{E} &= \frac{\omega}{c} \mu \vec{H} \\ \vec{k} \times \vec{H} &= -\frac{\omega}{c} \epsilon \vec{E}\end{aligned}$$

- Pro $\epsilon > 0$ a $\mu > 0$ tvoří vektory \vec{E} , \vec{H} , \vec{k} pravotočivou trojici vektorů, kdežto pro $\epsilon < 0$ a $\mu < 0$ levotočivou.

Levotočivé materiály (left-handed materials)

- Z Maxwellových rovnic se dá zjistit, že vlnový vektor \vec{k} bude mít opačné znaménko než v obvyklých materiálech

$$\begin{aligned}\operatorname{rot} \vec{E} &= -\frac{1}{c} \frac{\partial \vec{B}}{\partial t} & \vec{B} &= \mu \vec{H} \\ \operatorname{rot} \vec{H} &= \frac{1}{c} \frac{\partial \vec{D}}{\partial t} & \vec{D} &= \epsilon \vec{E}\end{aligned}$$

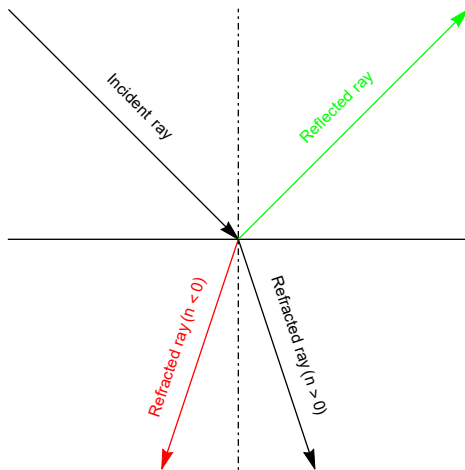
- Pro rovinnou monochromatickou vlnu jsou všechny kvantify úměrné $e^{i(kz-\omega t)}$
 \Rightarrow

$$\begin{aligned}\vec{k} \times \vec{E} &= \frac{\omega}{c} \mu \vec{H} \\ \vec{k} \times \vec{H} &= -\frac{\omega}{c} \epsilon \vec{E}\end{aligned}$$

- Pro $\epsilon > 0$ a $\mu > 0$ tvoří vektory \vec{E} , \vec{H} , \vec{k} pravotočivou trojici vektorů, kdežto pro $\epsilon < 0$ a $\mu < 0$ levotočivou.
- Naproti tomu Poyntingův vektor $\vec{S} = \frac{c}{4\pi} \vec{E} \times \vec{H}$ tvoří s \vec{E} , \vec{H} vždy pravotočivou trojici vektorů

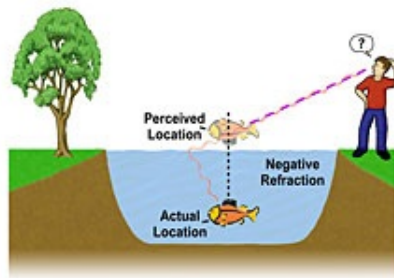
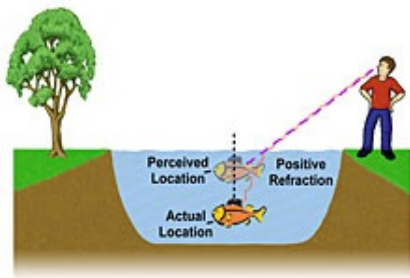
Záporný index lomu

- $n = \sqrt{\epsilon\mu}$
- Snellův zákon $\frac{\sin \varphi_1}{\sin \varphi_2} = n_{12}$

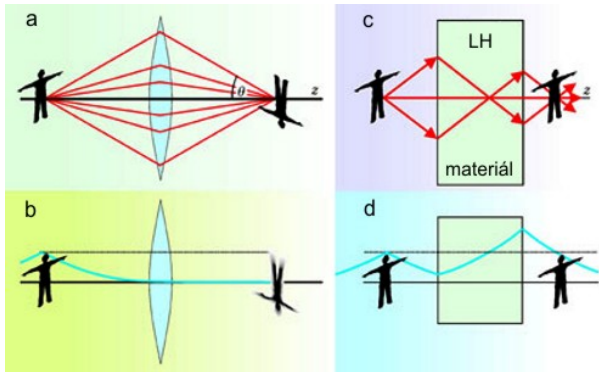


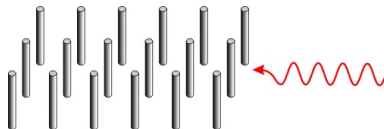
Záporný index lomu

- $n = \sqrt{\epsilon\mu}$
- Snellův zákon $\frac{\sin \varphi_1}{\sin \varphi_2} = n_{12}$



Veselagova čočka (superčočka)





- John Pendry - navrhl první materiál se zápornou permitivitou (1996)

$$\epsilon_{\text{eff}}(\omega) = 1 - \frac{\omega_p^2}{\omega^2 + i\gamma\omega}$$

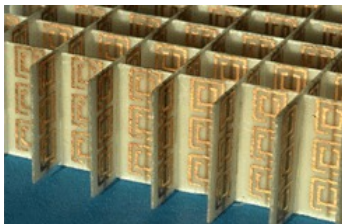


- John Pendry - navrhl první materiál se zápornou permitivitou (1996)

$$\epsilon_{\text{eff}}(\omega) = 1 - \frac{\omega_p^2}{\omega^2 + i\gamma\omega}$$

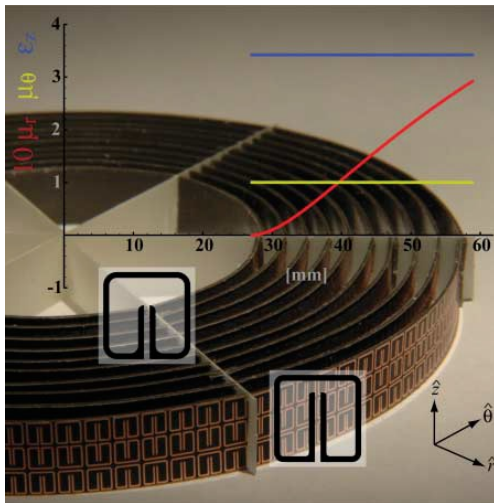
- a se zápornou permeabilitou (1999)

$$\mu_{\text{eff}}(\omega) = 1 - \frac{F\omega_0^2}{\omega^2 - \omega_0^2 - i\omega\Gamma}$$



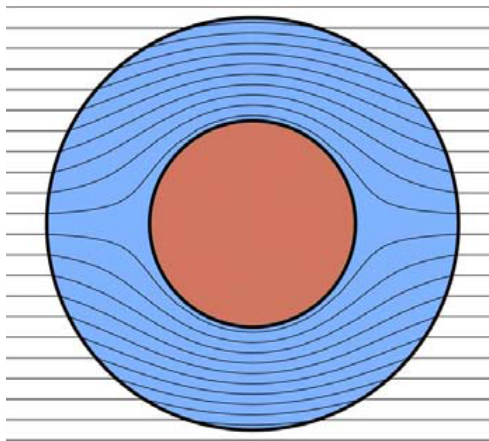
- David R. Smith - zkonstruoval první prostředí se záporným indexem lomu (2000)

První plášť neviditelnosti

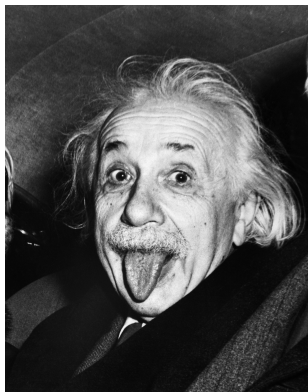
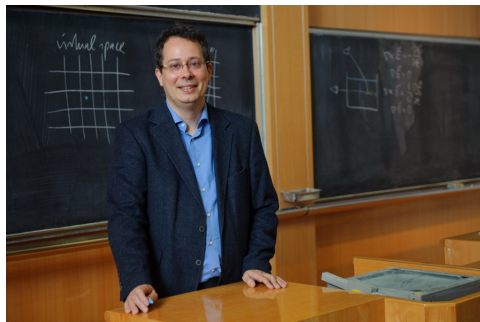


- Schurig, Mock, Justice, Cummer, Pendry, Starr, Smith

- Geometrická optika

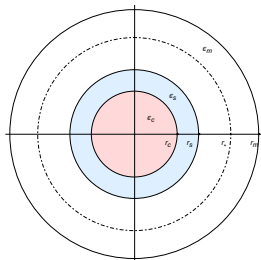


- Ulf Leonhardt - obecná relativita





- N. A. Nicorovici, R. C. McPhedran, G. W. Milton zkoumají případ maskovaného válce (coated cylinder) ve dvou dimenzích (1994)



- ALR nastává pouze pokud dochází k "blow-upu" energie, tj.

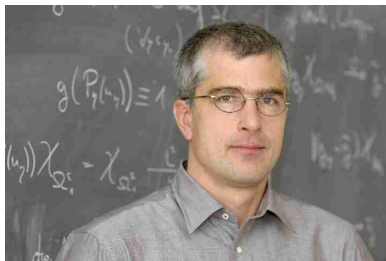
$$E_\delta := \lim_{\delta \rightarrow 0} \int_{B_{r_s} \setminus B_{r_c}} \delta |\nabla V_\delta|^2 dx = \infty$$

přičemž $V_\delta(x)$ zůstává omezená mimo jistý poloměr a , tj.

$$|V_\delta(x)| < C, \text{ pro } |x| > a$$

pro nějaké konstanty C a a nezávislé na $\delta \Rightarrow B_a$ obsahuje celou oblast ALR

- Anomálnost: "blow-up" energie může nastávat i v jisté blízké oblasti kolem maskovacího zařízení



- G. Bouchitté, B. Schweizer (2009) zkoumali řešení rovnice

$$\begin{aligned} \nabla \cdot (\epsilon_\delta \nabla u_\delta) &= 0 \\ \epsilon_\delta(x) &= \begin{cases} +1, & x \in B_1 \\ -1 + i\delta, & x \in B_R \setminus B_1 \\ +1, & x \in \mathbb{R}^2 \setminus B_R \end{cases} \end{aligned}$$

Anomální lokalizovaná rezonance

- Řešení takovéto rovnice lze najít jako ansatz

$$u_\delta(x) = U_k(r)e^{ik\theta}$$

$$U_k(r) = \begin{cases} r^k, & \text{pro } r \leq 1 \\ ar^k + br^{-k}, & \text{pro } 1 < r \leq R \\ \alpha r^k + \beta r^{-k}, & \text{pro } R < r \end{cases}$$

Anomální lokalizovaná rezonance

- Řešení takovéto rovnice lze najít jako ansatz

$$u_\delta(x) = U_k(r)e^{ik\theta}$$

$$U_k(r) = \begin{cases} r^k, & \text{pro } r \leq 1 \\ ar^k + br^{-k}, & \text{pro } 1 < r \leq R \\ \alpha r^k + \beta r^{-k}, & \text{pro } R < r \end{cases}$$

- Lokalizační index

$$P_k^\delta := P(\delta, k, R) := \frac{\beta}{\alpha}$$

- Zkoumá se limita $\delta \rightarrow 0$ výrazu

$$\frac{\beta r^{-k}}{\alpha r^k} = \frac{P_k^\delta}{r^{2k}} = \left(\frac{R^*}{r}\right)^{2k} \frac{(2i\delta - i^2\delta^2)(1 - R^{-2k})}{i^2\delta^2 R^k - (2 - i\delta)^2 R^{-k}}$$
$$R^* = R^{3/2}$$

$$\max_k \frac{|P_k^\delta|}{r^{2k}} \rightarrow 0, r > R^* \quad \max_k \frac{|P_k^\delta|}{r^{2k}} \rightarrow \infty, r < R^*$$

Anomální lokalizovaná rezonance - mezikruží ($d > 3$)

- Zkoumáme stejný problém ve 3 dimenzích, tj. rovnici

$$\Delta\Psi(x) = 0$$

s okrajovými podmínkami

$$\Psi(1^-) = \Psi(1^+)$$

$$\Psi(R^-) = \Psi(R^+)$$

$$\epsilon_\delta(1^-)\nabla\Psi(1^-) = \epsilon_\delta(1^+)\nabla\Psi(1^+)$$

$$\epsilon_\delta(R^-)\nabla\Psi(R^-) = \epsilon_\delta(R^+)\nabla\Psi(R^+)$$

- Laplaceův operátor má ve třech dimenzích tvar

$$-\Delta = -\frac{1}{r^2}\frac{\partial}{\partial r}\left(r^2\frac{\partial}{\partial r}\right) - \frac{1}{r^2}\Delta_{S^2}$$

- $-\Delta_{S^2}$ je Laplace-Beltramiho operátor, jehož spektrum je $\sigma(-\Delta_{S^2}) = \{l(1+l)\}_{l=0}^\infty$ a proto lze Laplaceův operátor psát jako

$$-\Delta = \bigoplus_{l=0}^\infty \bigoplus_{k=-l}^l \left(-\frac{1}{r^2}\frac{\partial}{\partial r}\left(r^2\frac{\partial}{\partial r}\right) + \frac{l(1+l)}{r^2}\right)$$

Anomální lokalizovaná rezonance - mezikruží ($d > 3$)

- Předpokládáme řešení Laplaceovy rovnice v separovaném tvaru $\Psi(x) = \psi(r)\Phi(\Omega)$, kde $\Omega = (\theta, \phi)$
- Řešíme tak rovnici

$$-\frac{1}{r^2} \frac{d}{dr} \left(r^2 \frac{d}{dr} \psi(r) \right) + \frac{l(l+1)}{r^2} \psi(r) = 0$$

$$\Rightarrow \psi(r) = \sum_{l=0}^{\infty} (\alpha_l(r)r^l + \beta_l(r)r^{-l-1})$$

- Označíme ψ_l l -tý člen sumy. Koeficienty $\alpha_l(r), \beta_l(r)$ se budou lišit v každé ze tří oblastí

$$\psi_l(r) = \begin{cases} r^l, & \text{pro } r \leq 1 \\ a_l r^l + b_l r^{-l-1}, & \text{pro } 1 < r \leq R \\ \alpha_l r^l + \beta_l r^{-l-1}, & \text{pro } R < r \end{cases}$$

Anomální lokalizovaná rezonance - mezikruží ($d > 3$)

- Po dosazení okrajových podmínek vypočteme čísla α_l, β_l a z nich potom počítáme

$$\left| \frac{\beta_l r^{-l-1}}{\alpha_l r^l} \right| = \frac{|P_l^\delta|}{r^{2l+1}} =$$
$$= \left(\frac{R}{r} \right)^{2l+1} \frac{l\sqrt{4 + \delta^2} \sqrt{1 + \delta^2(1+l)^2} (R^{2l+1} - 1)}{\sqrt{16l^2 + 32l^3 + 16l^4 + 8l^2 R^{2l+1} + R^{4l+2} + 8lR^{2l+1} + 8\delta^2 l^2 + 16\delta^2 l^3 + 8\delta^2 l^4 + 6\delta^2 lR^{2l+1} + 14\delta^2 l^2 R^{2l+1} + 16\delta^2 l^3 R^{2l+1} + 8\delta^2 l^4 R^{2l+1} + \delta^2 R^{4l+2} + 2\delta^2 lR^{4l+2} + 2\delta^2 l^2 R^{4l+2} + \delta^4 l^2 + 2\delta^4 l^3 - \delta^4 l^4 + 2\delta^4 l^2 R^{2l+1} - 4\delta^4 l^3 R^{2l+1} + 2\delta^4 l^4 R^{2l+1} + \delta^4 l^2 R^{4l+2} + 2\delta^4 l^3 R^{4l+2} + \delta^4 l^4 R^{4l+2}}}$$

Anomální lokalizovaná rezonance - mezikruží ($d > 3$)

- Hledáme maximum přes l
 - zjevně v nule má $\frac{|P_l^\delta|}{r^{2l+1}}$ nulovou hodnotu
 - v nekonečnu spočítáme limitu

$$\lim_{l \rightarrow +\infty} \frac{|P_l^\delta|}{r^{2l+1}} = \lim_{l \rightarrow +\infty} \left(\frac{R}{r}\right)^{2l+1} \frac{l^2 R^{2l+1}}{l^2 R^{2l+1}} \frac{\sqrt{4 + \delta^2} \sqrt{\frac{1}{l^2} + \delta^2} \left(\frac{1}{l} + 1\right)^2 \left(1 - \frac{1}{R^{2l+1}}\right)}{\sqrt{\dots + \delta^4}}$$

Anomální lokalizovaná rezonance - mezikruží ($d > 3$)

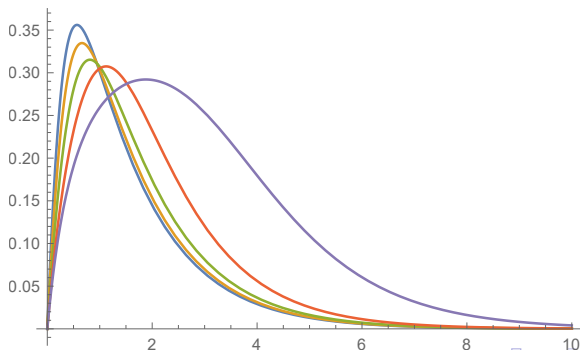
- Hledáme maximum přes l
 - zjevně v nule má $\frac{|P_l^\delta|}{r^{2l+1}}$ nulovou hodnotu
 - v nekonečnu spočítáme limitu

$$\begin{aligned}\lim_{l \rightarrow +\infty} \frac{|P_l^\delta|}{r^{2l+1}} &= \lim_{l \rightarrow +\infty} \left(\frac{R}{r}\right)^{2l+1} \frac{l^2 R^{2l+1}}{l^2 R^{2l+1}} \frac{\sqrt{4 + \delta^2} \sqrt{\frac{1}{l^2} + \delta^2} \left(\frac{1}{l} + 1\right)^2 \left(1 - \frac{1}{R^{2l+1}}\right)}{\sqrt{\dots + \delta^4}} \\ &= 0\end{aligned}$$

Anomální lokalizovaná rezonance - mezikruží ($d > 3$)

- Hledáme maximum přes l
 - zjevně v nule má $\frac{|P_l^\delta|}{r^{2l+1}}$ nulovou hodnotu
 - v nekonečnu spočítáme limitu

$$\lim_{l \rightarrow +\infty} \frac{|P_l^\delta|}{r^{2l+1}} = \lim_{l \rightarrow +\infty} \left(\frac{R}{r} \right)^{2l+1} \frac{l^2 R^{2l+1}}{l^2 R^{2l+1}} \frac{\sqrt{4 + \delta^2} \sqrt{\frac{1}{l^2} + \delta^2} \left(\frac{1}{l} + 1 \right)^2 \left(1 - \frac{1}{R^{2l+1}} \right)}{\sqrt{\dots + \delta^4}}$$
$$= 0$$



- Pro nalezení maxima provádíme odhad funkce $\frac{|P_l^\delta|}{r^{2l+1}}$ shora

$$\frac{|P_l^\delta|}{r^{2l+1}} = \left(\frac{R}{r}\right)^{2l+1} \frac{l\sqrt{4 + \delta^2}\sqrt{1 + \delta^2(1+l)^2}(R^{2l+1} - 1)}{\sqrt{\dots}}$$

- Pro nalezení maxima provádíme odhad funkce $\frac{|P_l^\delta|}{r^{2l+1}}$ shora

$$\begin{aligned}\frac{|P_l^\delta|}{r^{2l+1}} &= \left(\frac{R}{r}\right)^{2l+1} \frac{l\sqrt{4+\delta^2}\sqrt{1+\delta^2(1+l)^2}(R^{2l+1}-1)}{\sqrt{\dots}} \\ &\leq \frac{1}{l^2} \frac{IC\sqrt{1+\delta^2(1+l)^2}R^{2l+1}}{R^{2l+1}\sqrt{1+\delta^4}l^4}\end{aligned}$$

- Pro nalezení maxima provádíme odhad funkce $\frac{|P_l^\delta|}{r^{2l+1}}$ shora

$$\begin{aligned}\frac{|P_l^\delta|}{r^{2l+1}} &= \left(\frac{R}{r}\right)^{2l+1} \frac{l\sqrt{4+\delta^2}\sqrt{1+\delta^2(1+l)^2}(R^{2l+1}-1)}{\sqrt{\dots}} \\ &\leq \frac{1}{l^2} \frac{lC\sqrt{1+\delta^2(1+l)^2}R^{2l+1}}{R^{2l+1}\sqrt{1+\delta^4l^4}} \\ &\leq \frac{C}{l} \frac{1+\delta(1+l)}{1+\delta^2l^2}\end{aligned}$$

- Pro nalezení maxima provádíme odhad funkce $\frac{|P_l^\delta|}{r^{2l+1}}$ shora

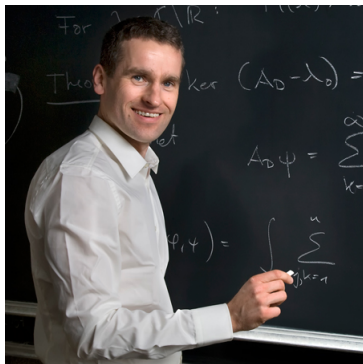
$$\begin{aligned}\frac{|P_l^\delta|}{r^{2l+1}} &= \left(\frac{R}{r}\right)^{2l+1} \frac{l\sqrt{4+\delta^2}\sqrt{1+\delta^2(1+l)^2}(R^{2l+1}-1)}{\sqrt{\dots}} \\ &\leq \frac{1}{l^2} \frac{1C\sqrt{1+\delta^2(1+l)^2}R^{2l+1}}{R^{2l+1}\sqrt{1+\delta^4}l^4} \\ &\leq \frac{C}{l} \frac{1+\delta(1+l)}{1+\delta^2 l^2} \leq \frac{C}{1+\delta^2 l^2} \leq \frac{C}{1+\delta^2 l_0^2}\end{aligned}$$

Anomální lokalizovaná rezonance - mezikruží ($d > 3$)

- Pro nalezení maxima provádíme odhad funkce $\frac{|P_l^\delta|}{r^{2l+1}}$ shora

$$\begin{aligned}\frac{|P_l^\delta|}{r^{2l+1}} &= \left(\frac{R}{r}\right)^{2l+1} \frac{l\sqrt{4+\delta^2}\sqrt{1+\delta^2(1+l)^2}(R^{2l+1}-1)}{\sqrt{\dots}} \\ &\leq \frac{1}{l^2} \frac{lC\sqrt{1+\delta^2(1+l)^2}R^{2l+1}}{R^{2l+1}\sqrt{1+\delta^4/l^4}} \\ &\leq \frac{C}{l} \frac{1+\delta(1+l)}{1+\delta^2/l^2} \leq \frac{C}{1+\delta^2/l^2} \leq \frac{C}{1+\delta^2/l_0^2}\end{aligned}$$

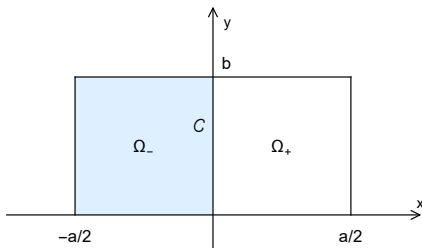
- Provedeme-li nyní limitu $\delta \rightarrow 0$, dostaneme nějakou konstantu C , tedy nedostali jsme $+\infty$ a tedy nedochází k ALR.



- J. Behrndt, D. Krejčířík (2014) - zavedení diferenciálního výrazu $-\operatorname{div} \operatorname{sgn} \nabla$ jako samosdruženého operátoru

Separovatelné systémy - obdélník

- Geometrie:



- Operátor:

$$Af = \begin{pmatrix} -\Delta f_+ \\ \Delta f_- \end{pmatrix},$$

$$\text{dom } A = \left\{ f = \begin{pmatrix} f_+ \\ f_- \end{pmatrix} : f_{\pm}, \Delta f_{\pm} \in H^2(\Omega_{\pm}), \right.$$

$$\left. f|_{\partial\Omega} = 0, f_+|_C = f_-|_C, \partial_{\mathbf{n}_+} f_+|_C = \partial_{\mathbf{n}_-} f_-|_C \right\}$$

Věta:

Operátor A je v podstatě samosdružený (tj. symetrický a jeho uzávěr je samosdružený).

- K důkazu využijeme následující větu

Věta: (Davies: Spectral theory and differential operators)

Bud' A symetrický operátor na \mathcal{H} a $\{\psi_n\}_{n=1}^{\infty}$ je úplná ortonormální množina funkcí v \mathcal{H} . Pokud každé ψ_n leží v $\text{Dom}(A)$ a existuje $\lambda_n \in \mathbb{R}$ takové, že $A\psi_n = \lambda_n\psi_n$ pro všechna n , potom je A v podstatě samosdružený operátor. Navíc spektrum operátoru \bar{A} je uzávěr v \mathbb{R} množiny všech λ_n .

Lemma: (vlastní čísla a vlastní funkce)

Spektrum operátoru A tvoří kořeny rovnice

$$\frac{\tanh\left(\sqrt{\lambda + \left(\frac{n\pi}{b}\right)^2} \frac{a}{2}\right)}{\sqrt{\lambda + \left(\frac{n\pi}{b}\right)^2}} = \frac{\tan\left(\sqrt{\lambda - \left(\frac{n\pi}{b}\right)^2} \frac{a}{2}\right)}{\sqrt{\lambda - \left(\frac{n\pi}{b}\right)^2}}$$

pro $\lambda \neq \pm \left(\frac{n\pi}{b}\right)^2$. Vlastní funkce A příslušející vlastnímu číslu $\lambda_{n,m}$ jsou dány jako

$$f_{n,m}(x, y) = \psi_{n,m\pm}(x) \chi_n(y)$$

kde $\chi_n(y) = \sqrt{\frac{2}{b}} \sin\left(n\pi \frac{y}{b}\right)$ a

$$\psi_{n,m+}(x) = N_{n,m} \sinh \sqrt{\lambda_n + \left(\frac{n\pi}{b}\right)^2} \frac{a}{2} \sin \sqrt{\lambda_n - \left(\frac{n\pi}{b}\right)^2} \left(\frac{a}{2} - x\right)$$

$$\psi_{n,m-}(x) = N_{n,m} \sin \sqrt{\lambda_n - \left(\frac{n\pi}{b}\right)^2} \frac{a}{2} \sinh \sqrt{\lambda_n + \left(\frac{n\pi}{b}\right)^2} \left(\frac{a}{2} + x\right)$$

Separovatelné systémy - obdélník

Důkaz: Řešíme rovnici

$$\mp \Delta f_{\pm} = \lambda f_{\pm}$$

v oblastech Ω_{\pm} pomocí separace proměnných

$$f(x, y) = \sum_{n=1}^{\infty} \psi_n(x) \chi_n(y)$$

kde $\chi_n(y) = \sqrt{\frac{2}{b}} \sin(n\pi \frac{y}{b})$ jsou funkce ortonormální Dirichletovy báze.

Separovatelné systémy - obdélník

Důkaz: Řešíme rovnici

$$\mp \Delta f_{\pm} = \lambda f_{\pm}$$

v oblastech Ω_{\pm} pomocí separace proměnných

$$f(x, y) = \sum_{n=1}^{\infty} \psi_n(x) \chi_n(y)$$

kde $\chi_n(y) = \sqrt{\frac{2}{b}} \sin(n\pi \frac{y}{b})$ jsou funkce ortonormální Dirichletovy báze.

Rovnice na vlastní čísla je pak

$$\mp \sum_{n=1}^{\infty} \left(\psi_{n\pm}''(x) \chi_n(y) - \psi_{n\pm}(x) \left(\frac{n\pi}{b} \right)^2 \chi_n(y) \right) = \lambda \sum_{n=1}^{\infty} (\psi_{n\pm}(x) \chi_n(y))$$

kteou přenásobíme $\chi_m(y)$ a vyintegrujeme přes y od 0 do b

$$-\psi_{n+}''(x) = \left(\lambda - \left(\frac{n\pi}{b} \right)^2 \right) \psi_{n+}(x), \quad x \in \left(0, \frac{a}{2} \right)$$

$$\psi_{n-}''(x) = \left(\lambda + \left(\frac{n\pi}{b} \right)^2 \right) \psi_{n-}(x), \quad x \in \left(-\frac{a}{2}, 0 \right)$$

Řešíme tedy takovýto systém diferenciálních rovnic s okrajovými podmínkami

$$\psi_{n+} \left(\frac{a}{2} \right) = \psi_{n-} \left(-\frac{a}{2} \right) = 0, \quad \psi_{n+}(0) = \psi_{n-}(0), \quad \psi'_{n+}(0) = -\psi'_{n-}(0)$$

z čehož nám vyjdou hledané vlastní funkce, rovnice na vlastní čísla a podmínka na $N_{n,m}$, aby byly tyto vlastní funkce normalizované

$$\frac{1}{N_{n,m}^2} = \sin^2 \lambda_- \frac{a}{2} \left(\frac{\sinh \lambda_+ a}{4\lambda_+} - \frac{a}{4} \right) + \sinh^2 \lambda_+ \frac{a}{2} \left(\frac{a}{4} - \frac{\sin \lambda_- a}{4\lambda_-} \right)$$

Lemma: (ortogonalita)

Vlastní funkce $f_{n,m}$ operátoru A tvoří ortonormální množinu v $H^2(\Omega)$.

Důkaz:

- $\{\chi_n(y)\}$ je zřejmě ortonormální
- Ortonormalita $\{\psi_n(x)\}$ se ukáže z toho, že operátor

$$(A_n \psi_n)(x) = \begin{cases} -\psi_{n+}''(x) + \left(\frac{n\pi}{b}\right)^2 \psi_{n+}(x), & x \in \left(0, \frac{a}{2}\right) \\ \psi_{n-}''(x) - \left(\frac{n\pi}{b}\right)^2 \psi_{n-}(x), & x \in \left(-\frac{a}{2}, 0\right) \end{cases}$$

$$\text{dom } A_n = \left\{ \psi_n = \begin{pmatrix} \psi_{n+} \\ \psi_{n-} \end{pmatrix} : \psi_{n+}, \psi_{n+}'' \in H^2\left(\left(0, \frac{a}{2}\right)\right), \psi_{n-}, \psi_{n-}'' \in H^2\left(\left(-\frac{a}{2}, 0\right)\right), \right. \\ \left. \begin{aligned} \psi_{n+}\left(\frac{a}{2}\right) &= \psi_{n-}\left(-\frac{a}{2}\right) = 0, \\ \psi_{n+}(0) &= \psi_{n-}(0), \psi_{n+}'(0) = -\psi_{n-}'(0) \end{aligned} \right\}$$

jehož vlastní funkce jsou $\psi_n(x)$, je pro každé n samosdružený.

Lemma: (úplnost)

Funkce $f_{n,m}$ tvoří úplnou ortonormální množinu v $H^2(\Omega)$.

Důkaz: (Kato: Perturbation theory for linear operators)

Musíme ukázat, že pokud $(w, f_{n,m}) = 0$ pro všechna n, m a každou funkci w , pak $w = 0$.

Definujeme si funkci

$$w_{n,m}(y) = \int_{-a/2}^{a/2} w(x, y) \psi_{n,m}(x) dx$$

pro níž máme ze Schwarzovy nerovnosti

$$|w_{n,m}(y)|^2 \leq \int_{-a/2}^{a/2} |w(x, y)|^2 dx \int_{-a/2}^{a/2} |\psi_{n,m}(x)|^2 dx = \int_{-a/2}^{a/2} |w(x, y)|^2 dx$$

A zároveň platí

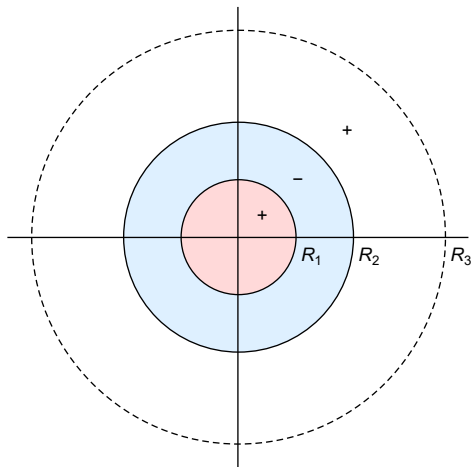
$$\int_0^b |w_{n,m}(y)|^2 dy \leq \int_{\Omega} |w(x, y)|^2 dx dy = \|w\|^2$$

Ty dvě nerovnosti implikují, že $w_{n,m} \in H^2((0, b))$ a proto můžeme psát

$$(w, f_{n,m}) = (w, \psi_{n,m}\chi_n) = (w_{n,m}, \chi_n)$$

Tedy pokud $(w, f_{n,m}) = 0$ pro všechna n, m , pak je i $(w_{n,m}, \chi_n) = 0$ a z úplnosti $\{\chi_n\}$ dostáváme, že $w_{n,m} = 0$.

- Geometrie:



- Operátor:

$$Cf = \begin{pmatrix} -\Delta f_1 \\ \Delta f_2 \\ -\Delta f_3 \end{pmatrix},$$

$$\text{dom } C = \left\{ f = \begin{pmatrix} f_1 \\ f_2 \\ f_3 \end{pmatrix} : f_j, \Delta f_j \in H^2((R_{j-1}, R_j), r dr) \times H^2(S^1, d\varphi), \right.$$

$$j = 1, 2, 3, \left. \begin{aligned} f_3|_{\partial B_{R_3}} = 0, f_1|_{\partial B_{R_1}} = f_2|_{\partial B_{R_1}}, f_2|_{\partial B_{R_2}} = f_3|_{\partial B_{R_2}}, \\ \partial_{\mathbf{n}_+} f_1|_{\partial B_{R_1}} = \partial_{\mathbf{n}_-} f_2|_{\partial B_{R_1}}, \partial_{\mathbf{n}_+} f_2|_{\partial B_{R_2}} = \partial_{\mathbf{n}_-} f_3|_{\partial B_{R_2}} \end{aligned} \right\}$$

Věta:

Operátor C je v podstatě samosdružený.

- Zavedeme si označení

$$A = \frac{J_n(-i\lambda_1)}{J_n(\lambda_1)} - i \frac{J_{n-1}(-i\lambda_1) - J_{n+1}(-i\lambda_1)}{J_{n-1}(\lambda_1) - J_{n+1}(\lambda_1)}$$

$$B = \frac{J_n(-i\lambda_1)}{J_n(\lambda_1)} - i \frac{Y_{n-1}(-i\lambda_1) - Y_{n+1}(-i\lambda_1)}{J_{n-1}(\lambda_1) - J_{n+1}(\lambda_1)}$$

$$C = \frac{Y_n(\lambda_2)}{J_n(\lambda_2)} - \frac{Y_n(\lambda_3)}{J_n(\lambda_3)}$$

$$D = \frac{Y_n(-i\lambda_2)}{J_n(\lambda_2)} - \frac{B}{A} \frac{J_n(-i\lambda_2)}{J_n(\lambda_2)}$$

$$E = \frac{Y_{n-1}(\lambda_2) - Y_{n+1}(\lambda_2)}{J_{n-1}(\lambda_2) - J_{n+1}(\lambda_2)} - \frac{Y_n(\lambda_3)}{J_n(\lambda_2)}$$

$$F = \frac{i(Y_{n-1}(-i\lambda_2) - Y_{n+1}(-i\lambda_2) - \frac{B}{A}(J_{n-1}(-i\lambda_2) - J_{n+1}(-i\lambda_2)))}{J_{n-1}(\lambda_2) - J_{n+1}(\lambda_2)}$$

- Rovnice na vlastní čísla

$$\frac{D}{C} = \frac{F}{E}$$

- Vlastní funkce

$$f(r, \varphi) = \sum_{n=1}^{\infty} g_n(r) h_n(\varphi)$$

kde $h_n(\varphi) = \frac{1}{\sqrt{\pi}} \sin(n\varphi)$,

$$g_{1n}(r) = N_n \frac{Y_n(-i\sqrt{\lambda}R_1) - \frac{B}{A}J_n(-i\sqrt{\lambda}R_1)}{J_n(\sqrt{\lambda}R_1)} J_n(\sqrt{\lambda}r), \quad r \in (0, R_1)$$

$$g_{2n}(r) = N_n \left(Y_n(-i\sqrt{\lambda}r) - \frac{B}{A}J_n(-i\sqrt{\lambda}r) \right), \quad r \in (R_1, R_2)$$

$$g_{3n}(r) = N_n \frac{D}{C} \left(Y_n(\sqrt{\lambda}r) - \frac{Y_n(\sqrt{\lambda}R_3)}{J_n(\sqrt{\lambda}R_3)} J_n(\sqrt{\lambda}r) \right), \quad r \in (R_2, R_3)$$

0 jako bod esenciálního spektra

- Obdélník: 0 je vlastní číslo nekonečné násobnosti (Behrndt, Krejčířík)
- Mezikružší: 0 neleží v bodovém spektru, leží ale v esenciálním

Důkaz: Provedeme rozvoj Besselových funkcí pro $n \rightarrow \infty$

$$J_n(z) = \frac{1}{\sqrt{2\pi n}} \left(\frac{ez}{2n}\right)^n + o\left(\left(\frac{ez}{2}\right)^n \frac{1}{n^{n+\frac{1}{2}}}\right)$$
$$Y_n(z) = -\sqrt{\frac{2}{\pi n}} \left(\frac{2n}{ez}\right)^n + o\left(\left(\frac{2}{ez}\right)^n n^{n-\frac{1}{2}}\right)$$

0 jako bod esenciálního spektra

$$LS = \frac{R_2^{2n}}{2(-i)^n R_1^{2n} \left[-1 + o\left(\frac{1}{n^2}\right)\right]} \left[1 - \frac{(n-1)^{n-\frac{1}{2}}(n+1)^{n+\frac{1}{2}}}{n^{2n}} + \frac{e^2 R_1^2 \lambda}{4} \left(\frac{(n-1)^{2n-2}}{2^{2n}} - \frac{(n-1)^{n-\frac{1}{2}}}{(n+1)^{n+\frac{3}{2}}} \right) + o\left(\frac{1}{n^2}\right) \right]$$

$$RS = \frac{R_2^{2n}}{2(-i)^n R_1^{2n} \left[\frac{(n+1)^{n+\frac{1}{2}}}{n^{2n}(n-1)^{n-\frac{1}{2}}} - \frac{e^2 R_2^2 \lambda}{4} \frac{1}{n^{2n}(n-1)} + o\left(\frac{(n-1)^{n-\frac{3}{2}}}{n^{2n}(n+1)^{n+\frac{3}{2}}}\right) \right]} \cdot \left[\frac{(n+1)^{n+\frac{1}{2}}}{n^{2n}(n-1)^{n-\frac{1}{2}}} - \frac{1}{(n-1)^{2n-1}} + \frac{e^2 \lambda}{4} \left[R_2^2 \left(\frac{1}{n^{2n}(n+1)} - \frac{1}{(n-1)^{n-\frac{1}{2}}(n+1)^{n+\frac{3}{2}}} \right) + R_1^2 \left(\frac{1}{n^{2n}(n-1)} + \frac{1}{(n-1)^{n-\frac{1}{2}}(n+1)^{n+\frac{3}{2}}} \right) \right] + \frac{e^4 R_1^2 R_2^2 \lambda^2}{16} \left[\frac{1}{(n+1)^{2n+3}} + \frac{(n-1)^{n-\frac{3}{2}}}{n^{2n}(n+1)^{n+\frac{3}{2}}} \right] + o\left(\frac{1}{n^{2n+3}}\right) \right]$$

0 jako bod esenciálního spektra

Dostáváme kupodivu kvadratickou rovnici pro λ

$$0 = -\frac{e^2}{36n^5} + \lambda \frac{e^2}{4} \left[R_1^2 \left(\frac{2}{n} + \frac{2}{n^3} + \frac{1}{3n^4} + \frac{2}{n^5} \right) + R_2^2 \left(\frac{2}{n^2} + \frac{2}{n^4} + \frac{1}{3n^5} \right) \right] + \lambda^2 \frac{e^2 R_1^2 R_2^2}{16} \left(\frac{2}{n^3} - \frac{4}{n^4} + \frac{5}{3n^5} \right) + o\left(\frac{1}{n^5}\right)$$

$$\lambda_{\pm} = -\frac{2}{R_1^2 R_2^2} \frac{6R_1^2 n^4 + 6R_2^2 n^3 + 6R_1^2 n^2 + (R_1^2 + 6R_2^2)n + 6R_1^2 + R_2^2}{(6n^2 - 12n + 5)} \pm$$

$$\pm \frac{2}{\sqrt{3R_1^2 R_2^2 (6n^2 - 12n + 5)}} \sqrt{108R_1^4 n^8 + 216R_1^2 R_2^2 n^7 + (216R_1^4 + 108R_2^4) n^6 + (36R_1^4 + 432R_1^2 R_2^2) n^5 + (324R_1^4 + 216R_2^4 + 72R_1^2 R_2^2) n^4 + (36R_2^4 + 432R_1^2 R_2^2) n^3 + (219R_1^4 + 108R_2^4 + 78R_1^2 R_2^2) n^2 + (36R_1^4 + 36R_2^4 + 210R_1^2 R_2^2) n + 108R_1^4 + 3R_2^2 + 41R_2^2 R_2^2}$$

Ukáže se, že $\lim_{n \rightarrow \infty} \lambda_1 = 0$ a tedy, že 0 je skutečně v esenciálním spektru.

Děkuji za pozornost